$\begin{array}{c} \mbox{Übersicht}\\ \mbox{Die Gleichung}\\ \mbox{Fall 1: } \beta=0, \alpha \ll 1\\ \mbox{Fall 2: } \beta=0, \alpha < 1\\ \mbox{Fall 3: } \alpha \ll 1, \beta \ll 1\\ \mbox{Fall 4: } \alpha \gg 1, \beta \gg 1\\ \end{array}$

Die Van der Pol - Gleichung

Philip Kaltner

2.5.2006



Die Gleichung

Fall 1:
$$\beta = 0, \alpha \ll 1$$

Fall 2:
$$\beta = 0, \alpha < 1$$

Fall 3:
$$\alpha \ll 1, \beta \ll 1$$

Fall 4:
$$\alpha \gg 1, \beta \gg 1$$

Übersicht **Die Gleichung** Fall 1:
$$\beta=0, \alpha\ll 1$$
 Fall 2: $\beta=0, \alpha<1$ Fall 3: $\alpha\ll 1, \beta\ll 1$ Fall 4: $\alpha\gg 1, \beta\gg 1$

Wir haben die Gleichung

$$\ddot{x} + \alpha \phi(x)\dot{x} + x = \beta p(t)$$

mit geradem $\phi(x)$ sowie $\phi < 0$ für |x| < 1 und $\phi > 0$ für |x| > 1. Die Funktion $\rho(t)$ ist T-periodisch und α, β sind nichtnegativ.

 $\begin{array}{c} \mbox{Übersicht} \\ \mbox{Die Gleichung} \\ \mbox{Fall } 1: \ \beta = 0, \ \alpha \ll 1 \\ \mbox{Fall } 2: \ \beta = 0, \ \alpha < 1 \\ \mbox{Fall } 3: \ \alpha \ll 1, \ \beta \ll 1 \\ \mbox{Fall } 4: \ \alpha \gg 1, \ \beta \gg 1 \end{array}$

Autonomisieren liefert das System

$$\dot{x} = y - \alpha \Phi(x),
\dot{y} = -x + \beta p(\theta),
\dot{\theta} = 1.$$

("Ursprungssystem")



Wir wählen als konkrete Funktionen

$$\phi(x) = x^2 - 1,$$

$$\Phi(x) = \frac{1}{3}x^3 - x,$$

$$\rho(t) = \cos(\omega t).$$

$$\begin{array}{c} \text{Übersicht}\\ \text{Die Gleichung}\\ \text{Fall 1: }\beta=0,\alpha\ll1\\ \text{Fall 2: }\beta=0,\alpha<1\\ \text{Fall 3: }\alpha\ll1,\beta\ll1\\ \text{Fall 4: }\alpha\gg1,\beta\gg1 \end{array}$$

Fall 1: $\beta = 0, \alpha \ll 1$ Wir haben also

$$\begin{pmatrix} \dot{x} \\ \dot{y} \end{pmatrix} = \begin{pmatrix} y \\ -x \end{pmatrix} - \alpha \begin{pmatrix} \frac{x^3}{3} - x \\ 0 \end{pmatrix}.$$

Rotationstransformation und Approximation (gem. Kap. 4) liefert in Polarkoordinaten

$$\dot{r} = \alpha \frac{r}{2} \left(1 - \frac{r^2}{4} \right) + \mathcal{O}(\alpha^2),$$

$$\dot{\phi} = 0 + \mathcal{O}(\alpha^2).$$

Langfristig erhalten wir also

$$r = 2 + \mathcal{O}(\alpha^2),$$

 $\phi = \phi_0 + \mathcal{O}(\alpha^2).$

Für $\beta = 0, \alpha \ll 1$ hat das System also einen Grenzzyklus.

Übersicht Die Gleichung Fall 1:
$$\beta=0, \alpha\ll 1$$
 Fall 2: $\beta=0, \alpha<1$ Fall 3: $\alpha\ll 1, \beta\ll 1$ Fall 4: $\alpha\gg 1, \beta\gg 1$

Fall 2:
$$\beta = 0, \alpha < 1$$

Wir betrachten dieselben Gleichungen

$$\dot{x} = y - \alpha \left(\frac{1}{3} x^3 - x \right),
\dot{y} = -x$$

mit nun nicht mehr so kleinem α .

Transformation $\hat{y} = \frac{1}{\alpha}y$ und Weglassen des Daches liefert

$$\dot{x} = \alpha \left(y - \left(\frac{1}{3} x^3 - x \right) \right),$$

$$\dot{y} = -\frac{1}{\alpha} x.$$

Übersicht
Die Gleichung
Fall 1: $\beta = 0$, $\alpha \ll 1$ Fall 2: $\beta = 0$, $\alpha < 1$ Fall 3: $\alpha \ll 1$, $\beta \ll 1$ Fall 4: $\alpha \gg 1$, $\beta \gg 1$

▶ (0,0) ist FP.

- ▶ (0,0) ist FP.
- ▶ α groß $\Rightarrow \dot{y}$ klein.

- ▶ (0,0) ist FP.
- $ightharpoonup \alpha \operatorname{groß} \Rightarrow \dot{y} \operatorname{klein}.$
- Für $y = \frac{x^3}{3} x$ (das sei Kurve c) ist $\dot{x} = 0$.

- ▶ (0,0) ist FP.
- $ightharpoonup \alpha \operatorname{groß} \Rightarrow \dot{y} \operatorname{klein}.$
- Für $y = \frac{x^3}{3} x$ (das sei Kurve c) ist $\dot{x} = 0$.
- ▶ Auf c haben wir $\dot{y} = -\frac{1}{\alpha}x$.

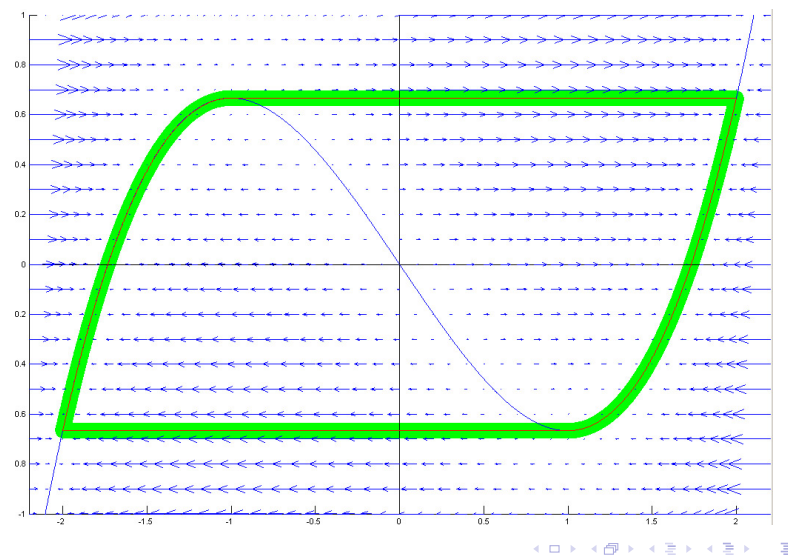
- ▶ (0,0) ist FP.
- $ightharpoonup \alpha \operatorname{groß} \Rightarrow \dot{y} \operatorname{klein}.$
- Für $y = \frac{x^3}{3} x$ (das sei Kurve c) ist $\dot{x} = 0$.
- Auf c haben wir $\dot{y} = -\frac{1}{\alpha}x$.
- ▶ Was passiert über/unter *c*?

- ▶ (0,0) ist FP.
- $ightharpoonup \alpha \operatorname{groß} \Rightarrow \dot{y} \operatorname{klein}.$
- Für $y = \frac{x^3}{3} x$ (das sei Kurve c) ist $\dot{x} = 0$.
- ▶ Auf c haben wir $\dot{y} = -\frac{1}{\alpha}x$.
- ▶ Was passiert über/unter *c*?
- Scheinbar existiert ein periodisches Orbit!

- ▶ (0,0) ist FP.
- $ightharpoonup \alpha \operatorname{groß} \Rightarrow \dot{y} \operatorname{klein}.$
- Für $y = \frac{x^3}{3} x$ (das sei Kurve c) ist $\dot{x} = 0$.
- Auf c haben wir $\dot{y} = -\frac{1}{\alpha}x$.
- ▶ Was passiert über/unter *c*?
- Scheinbar existiert ein periodisches Orbit!
- Numerik

- ▶ (0,0) ist FP.
- $ightharpoonup \alpha$ groß $\Rightarrow \dot{y}$ klein.
- Für $y = \frac{x^3}{3} x$ (das sei Kurve c) ist $\dot{x} = 0$.
- Auf c haben wir $\dot{y} = -\frac{1}{\alpha}x$.
- ▶ Was passiert über/unter *c*?
- Scheinbar existiert ein periodisches Orbit!
- Numerik
- ▶ Beweis ∃R, ∄FP, Pc-B

Übersicht Die Gleichung Fall 1: $\beta = 0, \alpha \ll 1$ **Fall 2:** $\beta = 0, \alpha < 1$ Fall 3: $\alpha \ll 1, \beta \ll 1$ Fall 4: $\alpha \gg 1, \beta \gg 1$



 $\begin{array}{c} \text{Übersicht}\\ \text{Die Gleichung}\\ \text{Fall 1: }\beta=0,\alpha\ll1\\ \text{Fall 2: }\beta=0,\alpha<1\\ \text{Fall 3: }\alpha\ll1,\beta\ll1\\ \text{Fall 4: }\alpha\gg1,\beta\gg1 \end{array}$

Fall 3: $\alpha \ll 1, \beta \ll 1$

Transformiere Ursprungssystem mit

$$\begin{pmatrix} u \\ v \end{pmatrix} = \begin{pmatrix} \cos(\omega t) & -\frac{1}{\omega}\sin(\omega t) \\ -\sin(\omega t) & -\frac{1}{\omega}\cos(\omega t) \end{pmatrix} \begin{pmatrix} x \\ y \end{pmatrix}$$

und approximiere zu

$$\begin{split} \dot{u} &= \frac{\alpha}{2} \left(u - \sigma v - \frac{u}{4} (u^2 + v^2) \right) + \mathcal{O}(\alpha^2), \\ \dot{v} &= \frac{\alpha}{2} \left(\sigma u + v - \frac{v}{4} (u^2 + v^2) \right) - \frac{\beta}{2\omega} + \mathcal{O}(\alpha^2), \end{split}$$

mit $\sigma = \frac{1-\omega^2}{\alpha\omega}$. Noch ein Rechenschritt...



Skalieren von u, v mit 2 sowie t mit $\frac{\alpha}{2}$ und Weglassen von $\mathcal{O}(\alpha^2)$ liefert

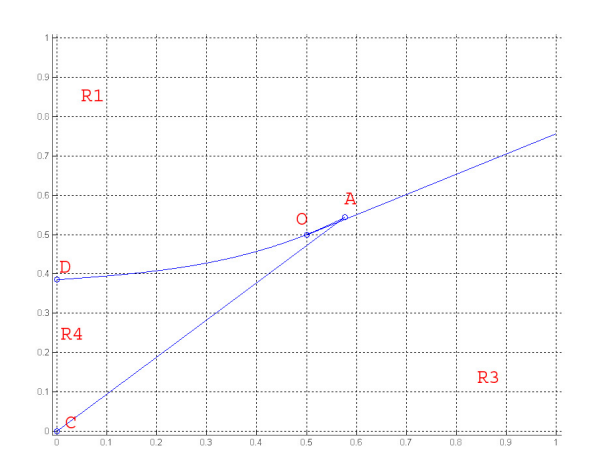
$$\dot{u} = u - \sigma v - u(u^2 + v^2),$$

 $\dot{v} = \sigma u + v - v(u^2 + v^2) - \gamma$

$$mit \ \gamma = \frac{\beta}{2\omega}.$$

Der Parameterraum besteht aus σ und γ . Wir betrachten. . .





 $\begin{array}{c} \mbox{ \"{U}bersicht}\\ \mbox{ Die Gleichung}\\ \mbox{ Fall } 1: \ \beta = 0, \ \alpha \ll 1\\ \mbox{ Fall } 2: \ \beta = 0, \ \alpha < 1\\ \mbox{ Fall } 3: \ \alpha \ll 1, \ \beta \ll 1\\ \mbox{ Fall } 4: \ \alpha \gg 1, \ \beta \gg 1\\ \end{array}$

Ausblick Cartwright: $R4 = R4a \cup R4b$, R4a hat einen Grenzzyklus, R4b nicht, ergo existieren weitere Bifurkationspunkte.

Fall 4: $\alpha \gg 1, \beta \gg 1$

Betrachte wieder

$$\dot{x} = \alpha (y - \Phi(x)),$$

$$\dot{y} = \frac{1}{\alpha} (-x + \beta p(t)).$$

 $\begin{array}{c} \text{Übersicht}\\ \text{Die Gleichung}\\ \text{Fall 1: }\beta=0,\alpha\ll1\\ \text{Fall 2: }\beta=0,\alpha<1\\ \text{Fall 3: }\alpha\ll1,\beta\ll1\\ \text{Fall 4: }\alpha\gg1,\beta\gg1\\ \end{array}$

Ist α groß genug, kann ein Einzugsgebiet $R \in \mathbb{R}^2$ gefunden werden.

```
\begin{array}{c} \text{Übersicht}\\ \text{Die Gleichung}\\ \text{Fall 1: }\beta=0,\alpha\ll1\\ \text{Fall 2: }\beta=0,\alpha<1\\ \text{Fall 3: }\alpha\ll1,\beta\ll1\\ \text{Fall 4: }\alpha\gg1,\beta\gg1 \end{array}
```

▶ Einzugsgebiet $R \in \mathbb{R}^2$

- ▶ Einzugsgebiet $R \in \mathbb{R}^2$
- ▶ Poincaré-Abbildung P mit $P(R) \subset R$

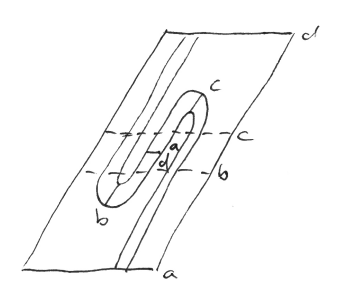
- ▶ Einzugsgebiet $R \in \mathbb{R}^2$
- ▶ Poincaré-Abbildung P mit $P(R) \subset R$
- Attraktorenmenge $A = \bigcap_{n \ge 0} P^n(R)$

- ▶ Einzugsgebiet $R \in \mathbb{R}^2$
- ▶ Poincaré-Abbildung P mit $P(R) \subset R$
- ▶ Attraktorenmenge $A = \bigcap_{n>0} P^n(R)$
- ▶ Ist *A* eine geschlossene Kurve?

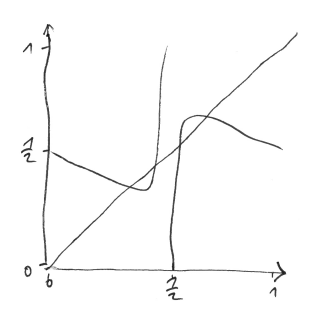
- ▶ Ein Rechteck R⁺ bewegt sich im Kreis.
- ▶ Auf $y = \Phi(x)$ langsame Bewegung.
- Horizontalbewegung schnell ("Jump").
- ▶ Symmetrie, *P* ist nun ein Jump.

- $ightharpoonup P^2(R^+)$ ist ein Umlauf von R^+ .
- ▶ Levi zeigte, daß dabei einiges passiert...

 R^+ wird gestreckt, gefaltet und verbogen:



Eine Darstellung der Abbildung als Kreisabbildung interpretiert:



Definiere Folge $\{x_k\}, x_k = f^k(x_0).$

```
\begin{array}{c} \text{Übersicht}\\ \text{Die Gleichung}\\ \text{Fall 1: }\beta=0,\alpha\ll1\\ \text{Fall 2: }\beta=0,\alpha<1\\ \text{Fall 3: }\alpha\ll1,\beta\ll1\\ \text{Fall 4: }\alpha\gg1,\beta\gg1 \end{array}
```

► 4er-Übergangsmatrix

- ► 4er-Übergangsmatrix
- ▶ Beschränke auf I_1 , I_2

- ▶ 4er-Übergangsmatrix
- ▶ Beschränke auf I_1 , I_2
- ▶ Folgen $\{a_k\}$

- ▶ 4er-Übergangsmatrix
- ▶ Beschränke auf I_1 , I_2
- ▶ Folgen {a_k}
- ightharpoonup Shift σ

▶ Kreisabbildung f ist expansiv, zwei sehr nahe Folgen $\{x_k\}_{1,2}$ werden also irgendwann in verschiedene Intervalle abgebildet, also sind die zugehörigen $\{a_k\}_{1,2}$ verschieden.

- ▶ Kreisabbildung f ist expansiv, zwei sehr nahe Folgen $\{x_k\}_{1,2}$ werden also irgendwann in verschiedene Intervalle abgebildet, also sind die zugehörigen $\{a_k\}_{1,2}$ verschieden.
- ▶ Zwei verschiedene $\{a_k\}_{1,2}$ gehören sicher nicht zu gleichen Folgen $\{x_k\}_{1,2}$.

- ▶ Kreisabbildung f ist expansiv, zwei sehr nahe Folgen $\{x_k\}_{1,2}$ werden also irgendwann in verschiedene Intervalle abgebildet, also sind die zugehörigen $\{a_k\}_{1,2}$ verschieden.
- ▶ Zwei verschiedene $\{a_k\}_{1,2}$ gehören sicher nicht zu gleichen Folgen $\{x_k\}_{1,2}$.
- ► Bijektivität.

Nun können wir periodische Symbolfolgen auf endlichem Alphabet abzählen:

Perioden-	Anzahl Orbits	-
lange	OTDICS	1 Olgen
1	2	1, 2
2	1	12
3	2	112, 122
4	3	1112, 1122, 1222
5	6	11112, 11122, 11222, 12222
		12121, 21212

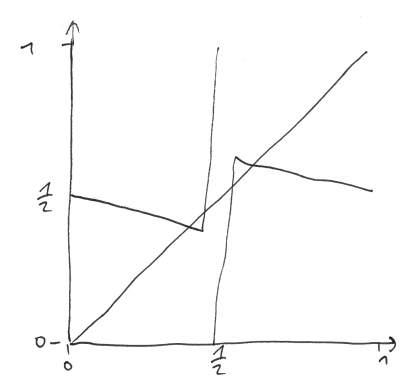
Die Invariantenmenge, also die Punkte, die unter f stets in $I_1 \cup I_2$ bleiben, besteht aus

- abzählbar unendlich vielen periodischen Punkten
- und überabzählbar vielen nicht-periodischen Punkten.

Wir linearisieren die Kreisabbildung zu

$$f(x) = \begin{cases} \frac{1}{4}(2-x) & x \in [0, \frac{18}{41}] \\ 10x - 4 & x \in [\frac{18}{41}, \frac{1}{2}] \\ 10x - 5 & x \in [\frac{1}{2}, \frac{23}{41}] \\ \frac{1}{4}(3-x) & x \in [\frac{23}{41}, 1] \end{cases}$$

Das schauen wir uns an...



... und erkennen vier Fixpunkte...



- ... und werfen sie in den Rechner. Ergebnis:
 - ▶ Die Folgen konvergieren wie vermutet gegen (einige) Fixpunkte.

... und werfen sie in den Rechner. Ergebnis:

- ▶ Die Folgen konvergieren wie vermutet gegen (einige) Fixpunkte.
- ► Sie konvergieren für unterschiedliche Startwerte in unterschiedliche Fixpunkte.

... und werfen sie in den Rechner. Ergebnis:

- ▶ Die Folgen konvergieren wie vermutet gegen (einige) Fixpunkte.
- Sie konvergieren für unterschiedliche Startwerte in unterschiedliche Fixpunkte.
- ► Extreme Datensensibilität: Betrachte die Startpunkte

$$x_i = x_0 + i \cdot 10^{-11}, \quad i \in \{0, 3, 6\}.$$

Für i = 0 und i = 6 konvergieren die Folgen gegen denselben Fixpunkt, für i = 3 jedoch gegen einen anderen!

